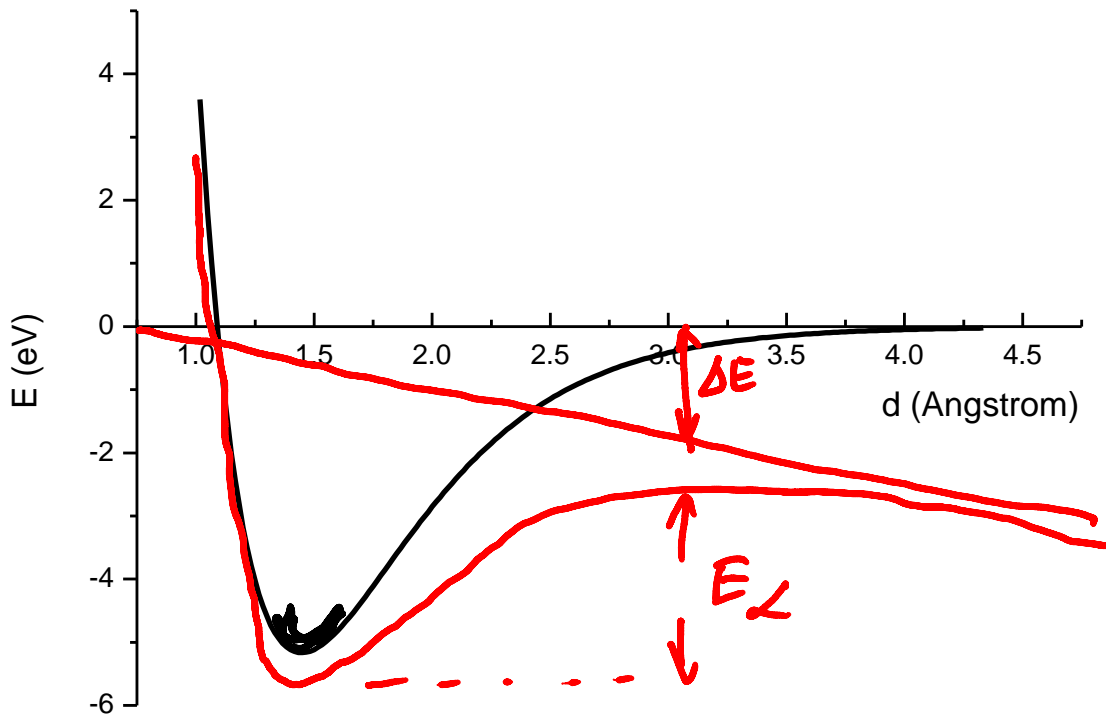


# Chapter 01

## Atomic interactions and forces

# Potential and applied force



Off-rate

$$k_{\text{off}} = k_0 \exp\left(-\frac{E_L}{kT}\right) = k_0 \exp\left(-\frac{-E_B + \Delta E}{kT}\right)$$

$$\Delta E = - \int F dx$$

$$= - F \cdot x$$

constant force

metastable state

Shift of equilibrium position

$$E(r) = E_B + \frac{1}{2} \frac{d^2 E}{dr^2} \Big|_{r_0} (r - r_0)^2 - F_{ext} \cdot r$$

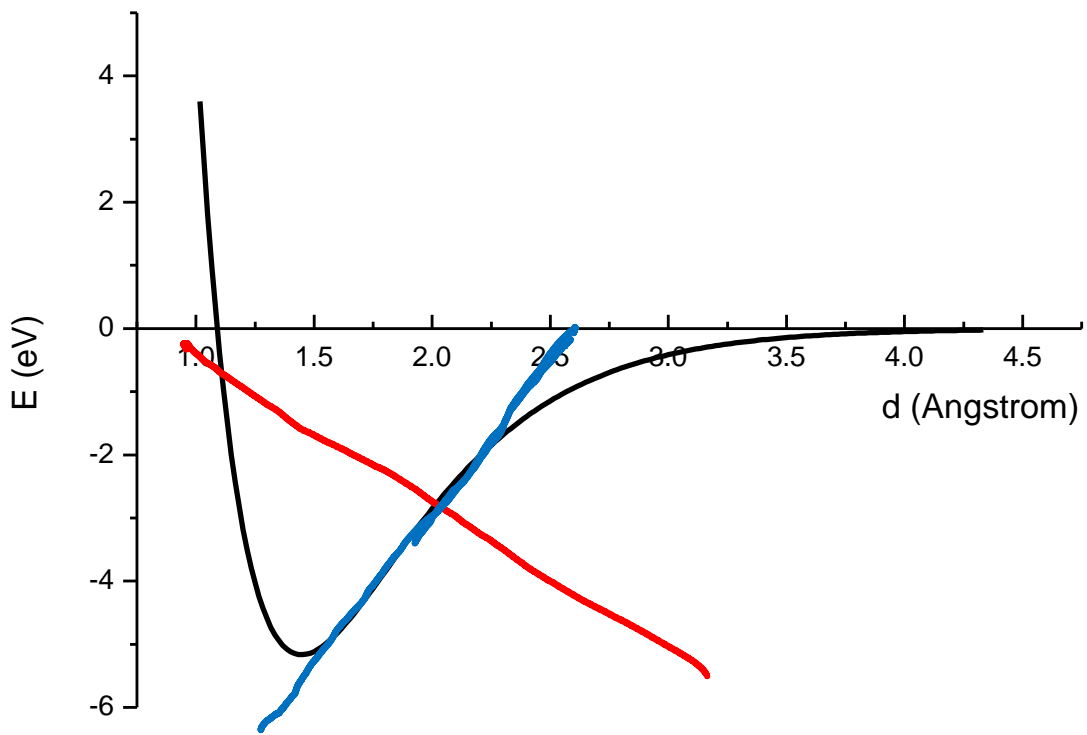
$$\frac{dE}{dr} = 0 \Rightarrow \frac{d^2 E}{dr^2} \Big|_{r_0} (r - r_0) - F_{ext} = 0$$

$$r = r_0 + \frac{F_{ext}}{\frac{d^2 E}{dr^2} \Big|_{r_0}} = r_0 + \frac{F_{ext}}{k}$$

Atomic spring with spring constant

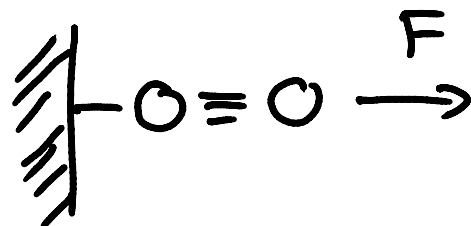
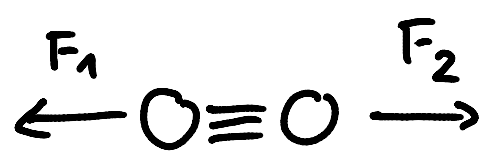
$$k = \frac{d^2 E}{dr^2} \Big|_{r_0}$$

# Rupture force



$$\begin{aligned} F_{\text{rupture}} &= \frac{6 \text{ eV}}{1.3 \text{ \AA}} \\ &= \frac{6 \text{ eV} \cdot 1.6 \times 10^{-10} \text{ J}}{1.3 \times 10^{-10} \text{ m}} \\ &= 7.39 \times 10^{-9} \frac{\text{J}}{\text{m}} \\ &= 7.39 \text{ nN} \end{aligned}$$

## Force pair vs. anchored molecule

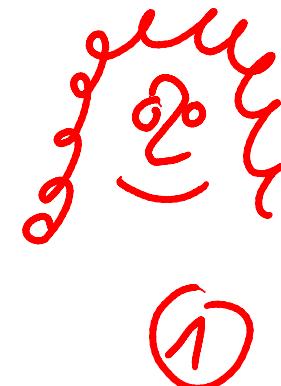


$$F_1 = -F_2$$

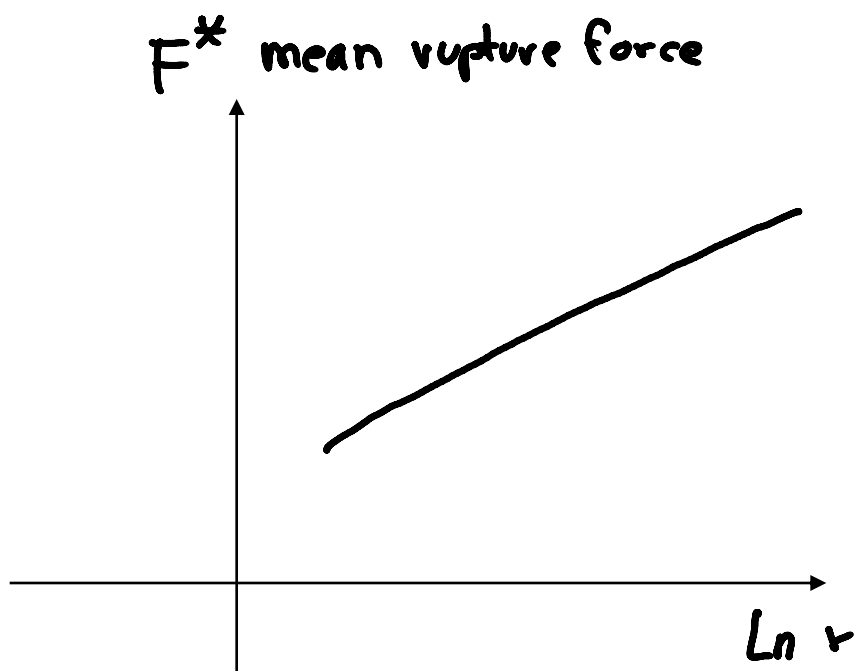
For the same experiment :

$$F = \frac{1}{2} F_2 ? \quad F = F_2 ? \quad F = 2 F_2 ?$$

$$F = F_2$$



## Rate dependence of rupture force



rate of force increase

$$F^* = F_B \cdot \ln \left( \frac{t_0}{F_B} \cdot r \right)$$

$$F_B = \frac{kT}{\Delta x}$$

$\Delta x$  activation length

Book  
"Nanobiomechanics"

$$F^* = \frac{kT}{\Delta x} \ln r + \frac{\overline{kT}}{\Delta x} (\ln t_0 - \ln F_B)$$

## Off-rate under applied force

$$k_o = A \exp\left(-\frac{E}{k_B T}\right) = \frac{1}{t_o}$$

How does  $E$  decrease,  
when we apply a force  $F$ .  
Linear, to 1<sup>st</sup> order

$$F_B = \frac{kT}{dx}$$

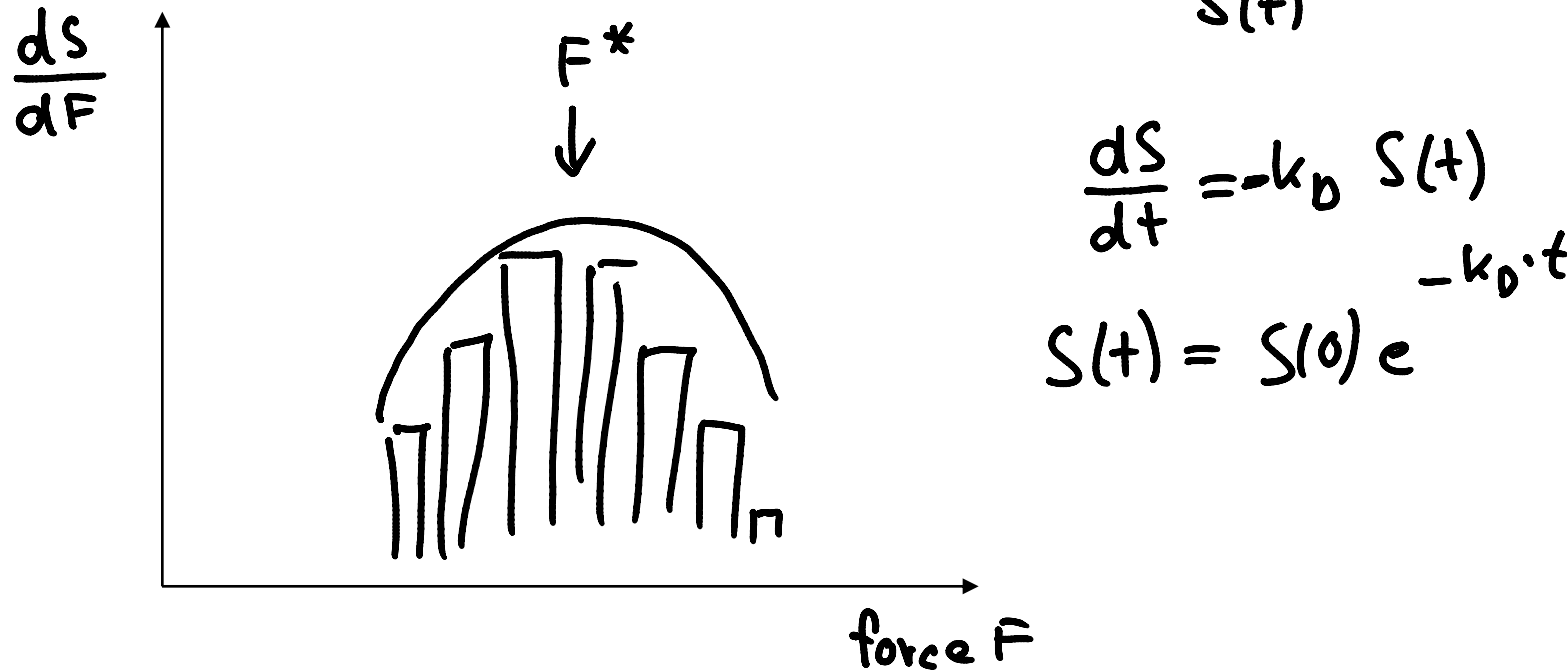
$$k_D = A \exp\left(-\frac{E - F \cdot \Delta x}{kT}\right)$$

$$= A \exp\left(-\frac{E}{kT}\right) \exp\left(F \frac{\Delta x}{kT}\right) = k_o \exp\left(\frac{F}{F_B}\right)$$

# Number of breaking bonds – histogram presentation

Histogram analysis of repeated experiments

# of rupture events



Number of remaining bonds  
 $S(t)$

$$\frac{dS}{dt} = -k_D S(t)$$

$$-k_D \cdot t$$

$$S(t) = S(0) e$$

Determine  $F^*$  (mean force)

as  $\frac{d^2S}{dF^2} \Big|_{F^*} = 0$

Evans' formula

$$\frac{dS}{dt} = \frac{dS}{dF} \cdot \frac{dF}{dt} = \frac{dS}{dF} \cdot r = -k_D S$$

$$\frac{dS}{dF} = -\frac{k_D}{r} \cdot S$$

$$\frac{d^2S}{dF^2} = -\frac{1}{r} \left( \frac{dk_D}{dF} \cdot S + k_D \frac{dS}{dF} \right) = 0$$

$$\frac{dk_D}{dF} = \frac{d}{dF} \left( A \exp \left( -\frac{E - F \cdot \Delta x}{kT} \right) \right)$$

$$\frac{d^2S}{dF^2} = -\frac{1}{r} \left( \frac{k_D}{F_B} \cdot S + k_D \left( -\frac{k_D}{r} \cdot S \right) \right) = 0$$

$$= \frac{\Delta x}{kT} k_D = \frac{k_D}{F_B}$$

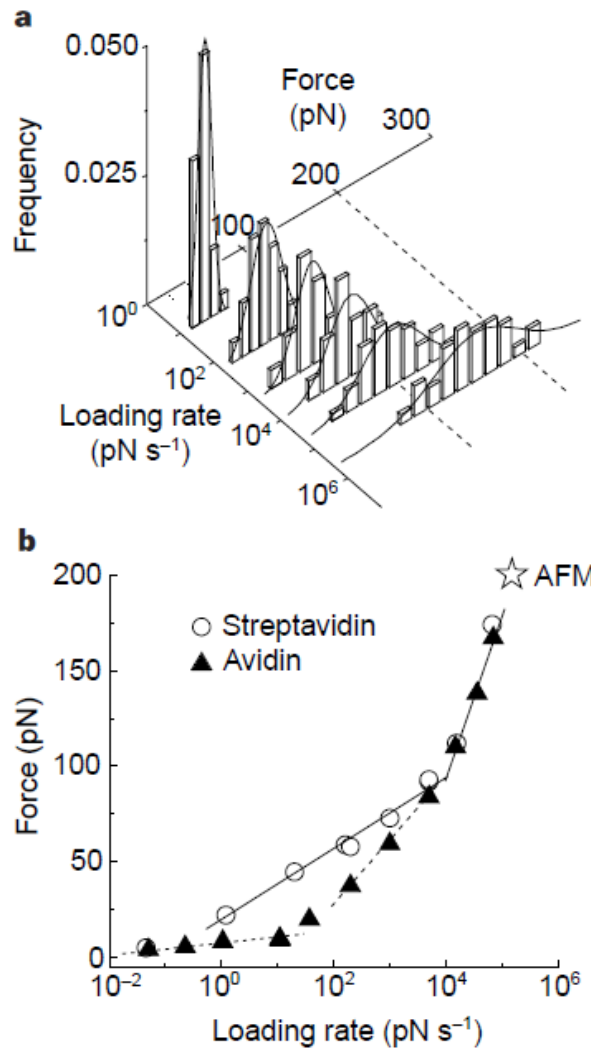
$$\frac{k_D}{F_B} - \frac{k_D^2}{r} = 0$$

$$k_D = \frac{r}{F_B}$$

$$\frac{1}{t_0} \exp \left( \frac{F^*}{F_B} \right) = \frac{r}{F_B}$$

$$F^* = F_B \ln \left( \frac{t_0}{F_B} \cdot r \right)$$

# Evans' results for biotin-streptavidin



# Eduard-Martin Preis 2017

## Gekühlt wird hier per Muskelkraft

Die Universität des Saarlandes verleiht den Eduard-Martin-Preis an zwölf ihrer Doktoranden.

**SAARBRÜCKEN** (lec) Wie lässt sich ein Kühlschrank oder eine Klimaanlage ohne großen Energieaufwand betreiben? Die überraschende Antwort könnte lauten: mit Muskelkraft. Aber nicht mit menschlicher, sondern mit künstlicher. Die Idee dazu entwickelte der Mechatroniker Marvin Schmidt in seiner Doktorarbeit. Dafür erhält er jetzt als einer von zwölf Doktoranden der Sa Uni aus unterschiedlichen Fächerichtungen den Eduard-Martin-Preis der Universitätsgesellschaft.

„Wir setzen Formgedächtnis-Materialien ein, sogenannte künstliche Muskeln, um Wärme zu transportieren“, erläutert Schmidt sein Konzept. „Werden diese verformt, nehmen sie anschließend die alte Form wieder an. Hierdurch können sie Muskeln an- und entspannen. Ich nehme sie Wärme auf und;

ben sie wieder ab. Das nutzen wir zum Kühlen.“ Ein entsprechender Prototyp zu Luftkühlung werde gerade gebaut.

Einer anderen Form von künstlichen Muskeln widmet sich die Doktorarbeit der Sportszoologin Monika Frenger, die ebenfalls einen Eduard-Martin-Preis erhält.

Die weiteren Preisträger sind Alexandra Windsberger (Jura), Hannelore Lisa Fell (Medizin), Madhurima Dhara (Medizin), Petr Kellnhofer (Informatik), Tobias Mai (Mathematik), Johanna Blass (Biochemie), Lina Schiffer (Biochemie), Caroline Schäfer (Betriebswirtschaftslehre), Annemarie Friedrich (Computerwissenschaften).



PCCP

PAPER



Cite this: *Phys. Chem. Chem. Phys.*,  
2017, 19, 5239

[View Article Online](#)

[View Journal](#) | [View Issue](#)

## Single-molecule force spectroscopy of fast reversible bonds

Johanna Blass,<sup>a</sup> Marcel Albrecht,<sup>b</sup> Gerhard Wenz,<sup>b</sup> Yan Nan Zang<sup>b</sup> and Roland Bennewitz<sup>\*a</sup>

In single-molecule force spectroscopy, the unbinding force is often used to quantify the interaction strength of single molecular bonds. We analyze force spectroscopy of fast reversible bonds probed in thermodynamic equilibrium by considering the dynamics of force probe and molecular linker. The effect of cantilever and linker dynamics is systematically addressed by measuring the unbinding force of single cyclodextrin inclusion complexes by atomic force spectroscopy for a variety of molecular linkers and varying force probe stiffness. The unbinding force of individual bonds probed in thermodynamic equilibrium is not unique for the molecular system but scales with  $\sqrt{k_{\text{cl}}}$ , the square root of the force probe stiffness, and is largely independent of the molecular linker stiffness. The observations are explained by an effective potential resulting from fast linker fluctuations and fast rebinding kinetics which is probed by an AFM cantilever. The slow cantilever dynamics in the kHz range act as mechanical low pass filter, allowing for fast rebinding kinetics of the molecular complex in the order of  $10^6$  kHz. The binding energy of the complex can be estimated from the unbinding force as a function of cantilever stiffness, however with some uncertainty arising from lack of a model in three dimensions.

Received 3rd November 2016,  
Accepted 22nd January 2017

DOI: 10.1039/c6cp07532k

rsc.li/pccp